

# Содержание

<b>Введение</b>	<b>5</b>
<b>1 Изучение поставленной задачи с помощью компьютерного моделирования</b>	<b>7</b>
1.1 Математическая постановка исходной задачи . . . . .	7
1.2 Некоторые факты из теории дифференциальных уравнений с отклоняющимся аргументом . . . . .	7
1.2.1 Базовые понятия и определения . . . . .	7
1.2.2 Простейшая модель с запаздыванием . . . . .	8
1.2.3 Классификация моделей с отклоняющимся аргументом	9
1.2.4 Метод шагов решения уравнений с отклоняющимся аргументом . . . . .	11
1.2.5 Некоторые сведения о решениях линейных уравнений с постоянными коэффициентами и постоянными отклонениями аргумента . . . . .	13
1.3 Переход к исследованию обыкновенных уравнений в частных производных, приближающих исходное уравнение с запаздыванием . . . . .	14
1.4 Исследование устойчивости обыкновенного дифференциального уравнения относительно $T(t)$ . . . . .	17
1.5 Программное вычисление определителей матрицы Гурвица . . . . .	19
<b>2 Аналитическое исследование поставленной задачи</b>	<b>21</b>

2.1	Теорема о неустойчивости приближений старших порядков . . . . .	21
2.2	Устойчивость решений дифференциального уравнения с запаздыванием по времени . . . . .	24
2.3	Достаточное условие неположительности знаков вещественных частей корней характеристического уравнения . . . . .	26
<b>3</b>	<b>Результаты проведённого анализа</b>	<b>29</b>
3.1	Графики решений при $\tau = 0.1$ , $k = 1$ . . . . .	30
3.1.1	Приближение порядка $m = 1$ . . . . .	31
3.1.2	Приближение порядка $m = 2$ . . . . .	32
3.1.3	Приближение порядка $m = 3$ . . . . .	33
3.1.4	Приближение порядка $m = 4$ . . . . .	34
3.1.5	Приближение порядка $m = 5$ . . . . .	35
3.1.6	Приближение порядка $m = 6$ . . . . .	36
3.2	Графики решений при $\tau = 0.1$ , $k = 2$ . . . . .	37
3.2.1	Приближение порядка $m = 1$ . . . . .	38
3.2.2	Приближение порядка $m = 2$ . . . . .	39
3.2.3	Приближение порядка $m = 3$ . . . . .	40
3.2.4	Приближение порядка $m = 4$ . . . . .	41
3.2.5	Приближение порядка $m = 5$ . . . . .	42
3.2.6	Приближение порядка $m = 6$ . . . . .	43
3.3	Промежуточный вывод . . . . .	44
<b>4</b>	<b>Приложение математического моделирования для исследования экономических процессов</b>	<b>45</b>

<b>Заключение</b>	<b>46</b>
-------------------	-----------

<b>Список литературы</b>	<b>47</b>
--------------------------	-----------

## Введение

Данный дипломный проект посвящен изучению математических моделей теплопроводности с отклоняющимся аргументом.

Впервые теорию дифференциальных уравнений сначала с запаздывающим (а потом и с отклоняющимся) аргументом рассмотрел в А.Д.Мышкис в работе [6]). Другой пионерской работой в исследовании этого вопроса стала [16].

В последствии дифференциальные уравнения с отклоняющимся аргументом (также иногда называемые функционально-дифференциальными) нашли многочисленные приложения в различных вопросах автоматике, в теории колебаний, в ракетной технике, во многих вопросах физики, в некоторых задачах экономических, биологических и медицинских наук. Важность и разнообразие приложений резко повысили интерес к теории этих уравнений. В 60-х годах XX века появилось множество работ по данной тематике: в качестве примеров можно привести монографии Беллмана, Данскина и Гликсберга [13], Беллмана и Данскина [14], Пинни [8], Красовского [5] и др.

Теория дифференциальных уравнений с отклоняющимся аргументом до сих пор находится в стадии становления и интерес к ней по-прежнему не угас. Значимыми работами современности по данной тематике стали [21] и [18].

В данной работе будет исследована устойчивость уравнения локального закона сохранения (Лиувилля) с малым запаздыванием  $\tau$ :

$$\begin{cases} \rho_t(x, t) + \operatorname{div} \bar{J}(x, t) = f(x, t), \\ \bar{J}(x, t + \tau) = -a^2 \nabla \rho(x, t) + \bar{V}(x, t) \rho(x, t) \end{cases}$$

Цель настоящего исследования – оценить, как небольшое отклонение

по времени влияет на решения и их устойчивость для уравнений теплопроводности с отклоняющимся аргументом, а также сравнить моделей с отклонением и без. Также в данной работе будет приведена необходимая теория и представлены развитые численные методы решений дифференциальных уравнений с отклоняющимся аргументом.

Важным фактом является наличие именно малого запаздывания: в работе будет представлен переход от исходной модели к системе обыкновенных дифференциальных уравнений с малым параметром при старшей производной. Такие уравнения были рассмотрены в статьях Тихонова [9, 10], Васильевой [1], в книге Васильевой и Бутузова [2].

В экономической части работы будет **модель капитализации Калецкого (Kalecki)**[17].

# 1 Изучение поставленной задачи с помощью компьютерного моделирования

## 1.1 Математическая постановка исходной задачи

Запишем **общее уравнение непрерывности** в дифференциальной форме:

$$\rho_t(\bar{x}, t) + \operatorname{div} \bar{J}(\bar{x}, t) = f(\bar{x}, t) \quad (1.1.1)$$

Оно представляет собой сильную (локальную) форму закона сохранения и выражает связь между потоком  $\bar{J}(\bar{x}, t)$  и концентрацией (температурой)  $\rho(\bar{x}, t)$ .

Чтобы корректно поставить задачу решения (1.1.1) необходимо дополнить его ещё одним условием – в данной работе оно представлено **законом диффузии с конвекцией** с отклоняющимся аргументом:

$$\bar{J}(\bar{x}, t + \tau) = -a^2 \nabla \rho(\bar{x}, t) + \bar{V}(\bar{x}, t) \rho(\bar{x}, t) \quad (1.1.2)$$

В дальнейшем уравнение (1.1.1) будет классифицировано с точки зрения теории дифференциальных уравнений с отклоняющимся аргументом. Предварительно приведем необходимую для исследования информацию.

## 1.2 Некоторые факты из теории дифференциальных уравнений с отклоняющимся аргументом

### 1.2.1 Базовые понятия и определения

Дифференциальными уравнениями с отклоняющимся аргументом называются дифференциальные уравнения, в которые неизвест-

ная функция и её производные входят, вообще говоря, при различных значениях аргумента.

Хотя уравнения с отклоняющимся аргументом по виду очень похожи на обыкновенные дифференциальные уравнения, факт отклонения аргумента усложняет их анализ.

Рассмотрим простейший пример

$$\dot{x}(t) = f(t, x(t), x(t - \tau)), \quad (1.2.1)$$

где  $\tau$  – положительная константа.

Для начала отметим, что для решения задачи Коши уже недостаточно задать одно начальное условие  $x(t_0) = x_0$ , ведь необходимо знать исходные значения на всем отрезке  $[t_0 - \tau, t_0]$ , т.е. задать функцию  $x_0(t)$ , определенную на отрезке  $[t_0 - \tau, t_0]$  – **начальную функцию** (в зарубежной литературе **history function** или **initial function**).

### 1.2.2 Простейшая модель с запаздыванием

Для примера рассмотрим две задачи Коши: одну для обыкновенного дифференциального уравнения, другую – для уравнения с отклонением по аргументу:

$$\begin{cases} x'(t) = x(t), & t > 0 \\ x(0) = 1 \end{cases} \quad (1.2.2)$$

$$\begin{cases} y'(t) = y(t - 1), & t > 0 \\ y(t) = 1, & -1 \leq t \leq 0 \end{cases} \quad (1.2.3)$$

Методы решения подобных уравнений с запаздыванием будут рассмотрены в работе позже, а пока построим графики этих решений:

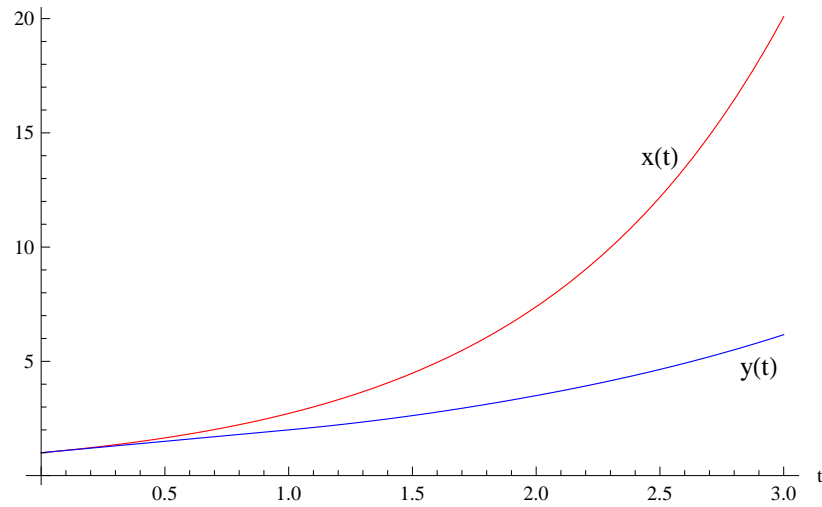


Рис. 1.2.1: Сравнение моделей с запаздыванием и без

Наглядно видно, что решения различны. Позже будет приведено аналитическое решение задачи (1.2.3) и доказано, что  $y(t)$  всегда возрастает медленнее экспоненциального решения, т.е.  $x(t)$ .

Также решение зависит от начальной функции: для примера рассмотрим такую задачу:

$$\begin{cases} y'_h(t) = y_h(t-1), & t > 0 \\ y_h(t) = 1+t, & -1 \leq t \leq 0 \end{cases} \quad (1.2.4)$$

Отметим, что  $y_h(0) = y(0) = 1$ .

Построим решения на одном графике:

Таким образом, начальная функция определяет характер решения задачи.

### 1.2.3 Классификация моделей с отклоняющимся аргументом

Рассмотрим обобщенное уравнение  $n$ -ого порядка с  $l$  отклонениями аргумента (вообще говоря, отклонение может быть непостоянным и зависеть, например, от значений самого аргумента).



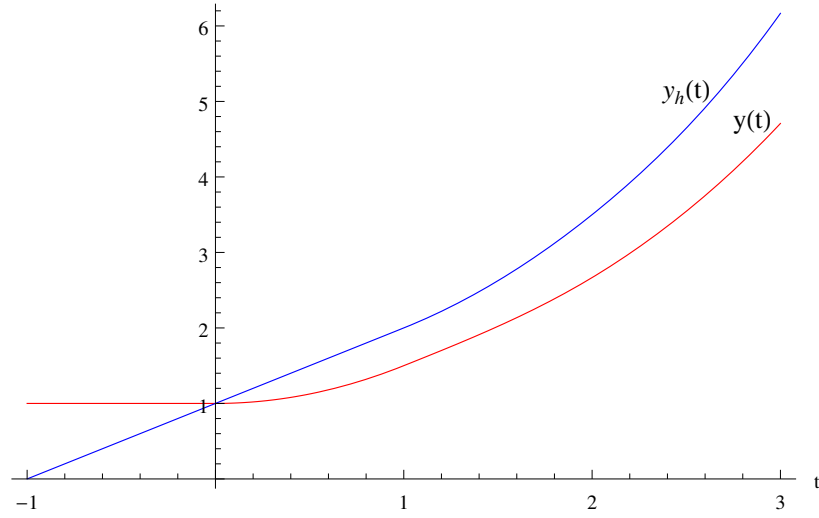


Рис. 1.2.2: Сравнение моделей с различными начальными функциями

$$\begin{aligned} x^{(m_0)}(t) = f(t, x(t), \dots, x^{(m_0-1)}(t), x(t - \tau_1(t)), \dots, \\ \dots, x^{(m_1)}(t - \tau_1(t)), \dots, x(t - \tau_l(t)), \dots, x^{(m_l)}(t - \tau_l(t))) \end{aligned} \quad (1.2.5)$$

Здесь  $\tau_i(t) \geq 0$ .

Каменским Г.А. была введена естественная классификация (1.2.5). Обозначим  $\lambda = m_0 - \max_{1 \leq i \leq l} m_i$ .

1. Если  $\lambda > 0$ , то такое уравнения называется уравнением с **запаздывающим аргументом**;
2. Если  $\lambda = 0$ , – уравнением **нейтрального типа**;
3. Если  $\lambda < 0$ , – уравнением **опережающего типа**.

Вернемся к исходной задаче (1.1.1, 1.1.2):

$$\begin{cases} \rho_t(\bar{x}, t) + \operatorname{div} \bar{J}(\bar{x}, t) = f(\bar{x}, t), \\ \bar{J}(\bar{x}, t + \tau) = -a^2 \nabla \rho(\bar{x}, t) + \bar{V}(\bar{x}, t) \rho(\bar{x}, t) \end{cases} \quad (1.2.6)$$

Объединим в одно уравнение относительно  $\rho(x, t)$ :

$$\rho_t(\bar{x}, t) = -a^2 \Delta \rho(\bar{x}, t - \tau) + \rho(\bar{x}, t - \tau) \operatorname{div} \bar{V}(\bar{x}, t - \tau) + (\bar{V}(\bar{x}, t - \tau), \nabla \rho(\bar{x}, t - \tau)) \quad (1.2.7)$$

Отметим, что дивергенция как дифференциальный оператор была применена по пространственным переменным  $\bar{x}$ . Из этого следует, что в левой части (1.2.7) не содержится производных по  $t$  и уравнение классифицируется как уравнение с запаздывающим аргументом при  $\tau > 0$  и как опережающего типа при  $\tau < 0$ .

#### 1.2.4 Метод шагов решения уравнений с отклоняющимся аргументом

Метод шагов – естественный метод решения уравнений с отклоняющимся аргументом. Рассмотрим простейший пример:

$$x'(t) = f(t, x(t), x(t - \tau)), \quad \tau > 0 \quad (1.2.8)$$

Поставим задачу Коши для него:

$$\begin{cases} x'(t) = f(t, x(t), x(t - \tau)), & t > 0, \\ x(t) = x_0(t), & -\tau \leq t \leq 0 \end{cases} \quad (1.2.9)$$

Тогда на отрезке  $[0, \tau]$ :

$$\begin{cases} x'(t) = f(t, x(t), x_0(t - \tau)), & 0 \leq t \leq \tau, \\ x(0) = x_0(0) \end{cases} \quad (1.2.10)$$

Отметим, что (1.2.10) – задача Коши уже для обыкновенного дифференциального уравнения. Предположим, что  $x_1(t)$  – ее решение. Тогда на отрезке  $[\tau, 2\tau]$ :

$$\begin{cases} x'(t) = f(t, x(t), x_1(t - \tau)), & \tau \leq t \leq 2\tau, \\ x(\tau) = x_1(\tau) \end{cases} \quad (1.2.11)$$

Продолжая подобные рассуждения, можно найти решение (1.2.9). Отметим, что решать можно как аналитически, так и численно.

К минусам этого метода можно отнести зависимость от величины отклонения и сложность адаптации к общему случаю зависимости запаздывания от аргумента.

В качестве примера можно рассмотреть уже использованную ранее в работе задачу Коши (1.2.3):

$$\begin{cases} y'(t) = y(t - 1), & t > 0 \\ y(t) = 1, & -1 \leq t \leq 0 \end{cases}$$

Таким образом, на отрезке  $[0, 1]$  её решением будет функция

$$y(t) = t + 1, \quad 0 \leq t \leq 1 \quad (1.2.12)$$

На отрезке  $[1, 2]$  соответственно:

$$\begin{cases} y'(t) = (t + 1) - 1, & 1 \leq t \leq 2, \\ y(1) = 1 + 1 = 2 \end{cases} \quad (1.2.13)$$

$$y(t) = \frac{t^2}{2} + \frac{3}{4}, \quad 1 \leq t \leq 2 \quad (1.2.14)$$

Продолжая подобные рассуждения, можно построить решение на сколь угодно отдаленном по времени от начального момента отрезке.

Заметим, что на каждом из таких отрезков, решения представлены в виде полинома, а значит возрастают не быстрее решения задачи без запаздывания – экспоненциальной функции.

### 1.2.5 Некоторые сведения о решениях линейных уравнений с постоянными коэффициентами и постоянными отклонениями аргумента

Рассмотрим линейное однородное уравнение с постоянными коэффициентами и постоянными отклонениями аргумента

$$\sum_{i=0}^n \sum_{j=0}^l a_{ij} x^{(i)}(t - \tau_j) = 0, \quad (1.2.15)$$

где  $0 = \tau_0 < \tau_1 < \dots < \tau_m$ .

Будем искать его частные решения в виде

$$x(t) = e^{kt}, \quad (1.2.16)$$

где  $k$  – постоянная.

Подставив (1.2.16) в (1.2.15), получим характеристическое уравнение для  $k$ :

$$\sum_{i=0}^n \sum_{j=0}^l a_{ij} k^i e^{k\tau_j} = 0 \quad (1.2.17)$$

Заметим, что по знакам вещественных частей корней 1.2.17 можно судить об устойчивости соответствующего ему дифференциального уравнения с запаздыванием, как и в случае уравнений без запаздывания. С доказательством данного факта можно ознакомиться, например, в [11].

Теория подобных трансцендентных уравнений изучалась ещё в XVIII веке Ламбертом и Эйлером. Известно, что (1.2.17) имеет бесконечное множество корней в комплексном пространстве.

В честь немецкого математика Ламберта была названа функция  $W(z)$ , определяемая функциональным уравнением

$$z = W(z)e^{W(z)} \quad (1.2.18)$$

Вообще говоря,  $W(z)$  многозначна, но если ограничиться вещественными  $z = x \geq -\frac{1}{e}$  и потребовать  $W(z) \geq -1$ , то получим однозначно определенную функцию, представляющую одну из главных ветвей  $W(z)$ :

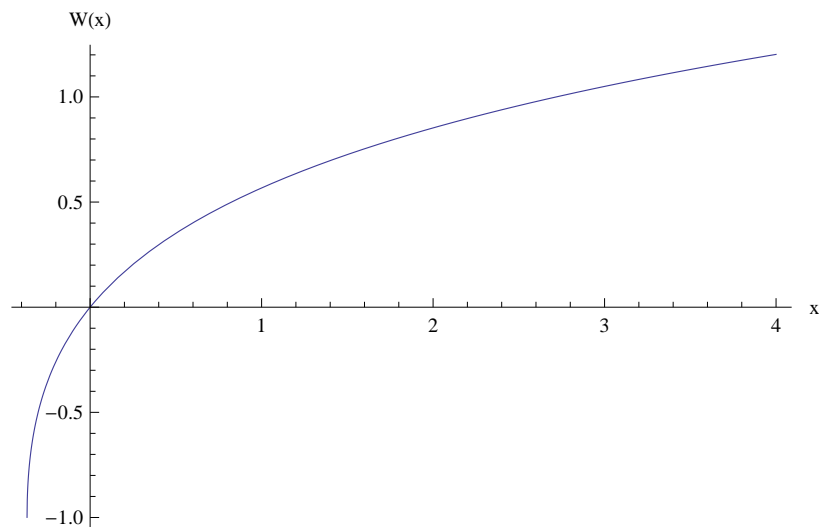


Рис. 1.2.3: График главной ветви  $W_0(x)$  решений функции Ламберта

### 1.3 Переход к исследованию обыкновенных уравнений в частных производных, приближающих исходное уравнение с запаздыванием

Цель дальнейшего исследования – свести исходную задачи к анализу её приближений уравнениями в частных производных.

Напомним, что в работе исследуется задача (1.1.1, 1.1.2):

$$\begin{cases} \rho_t(\bar{x}, t) + \operatorname{div} \bar{J}(\bar{x}, t) = f(\bar{x}, t), \\ \bar{J}(\bar{x}, t + \tau) = -a^2 \nabla \rho(\bar{x}, t) + \bar{V}(\bar{x}, t) \rho(\bar{x}, t) \end{cases} \quad (1.3.1)$$

Разложим левую часть уравнения с запаздыванием в ряд Тэйлора, опустив члены порядка выше  $m$ :

$$\bar{J}(\bar{x}, t) + \bar{J}_t(\bar{x}, t)\tau + \dots + \frac{\partial^m \bar{J}}{\partial t^m}(\bar{x}, t) \frac{\tau^m}{m!} = -a^2 \nabla \rho(\bar{x}, t) + \bar{V}(\bar{x}, t) \rho(\bar{x}, t) \quad (1.3.2)$$

$$\sum_{n=0}^m \frac{\partial^n \bar{J}}{\partial t^n}(\bar{x}, t) \frac{\tau^n}{n!} = -a^2 \nabla \rho(\bar{x}, t) + \bar{V}(\bar{x}, t) \rho(\bar{x}, t) \quad (1.3.3)$$

В контексте работы будем называть  $m$  **порядком приближения**.

Продифференцировав (1.1.1)  $n$  раз, получим:

$$\frac{\partial^{n+1} \rho}{\partial t^{n+1}} + \operatorname{div} \frac{\partial^n \bar{J}}{\partial t^n} = \frac{\partial^n f}{\partial t^n} \quad (1.3.4)$$

Домножив последнее уравнение на  $\frac{\tau^n}{n!}$ , перепишем его в следующем виде:

$$\operatorname{div} \left( \frac{\partial^n \bar{J}}{\partial t^n} \right) \frac{\tau^n}{n!} = \left( \frac{\partial^n f}{\partial t^n} - \frac{\partial^{n+1} \rho}{\partial t^{n+1}} \right) \frac{\tau^n}{n!} \quad (1.3.5)$$

Из уравнения (1.3.3):

$$\sum_{n=0}^m \operatorname{div} \left( \frac{\partial^n \bar{J}}{\partial t^n} \right) \frac{\tau^n}{n!} = -a^2 \operatorname{div}(\nabla \rho) + \operatorname{div}(\bar{V} \rho) \quad (1.3.6)$$

Подставим (1.3.5):

$$\sum_{n=0}^m \left( \frac{\partial^n f}{\partial t^n} - \frac{\partial^{n+1} \rho}{\partial t^{n+1}} \right) \frac{\tau^n}{n!} = -a^2 \Delta \rho + \rho \operatorname{div} \bar{V} + (\bar{V}, \nabla \rho) \quad (1.3.7)$$

$$\sum_{n=0}^m \frac{\partial^{n+1} \rho}{\partial t^{n+1}} \frac{\tau^n}{n!} - a^2 \Delta \rho + \rho \operatorname{div} \bar{V} + (\bar{V}, \nabla \rho) = \sum_{n=0}^m \frac{\partial^n f}{\partial t^n} \frac{\tau^n}{n!} \quad (1.3.8)$$

Рассмотрим одномерный случай:

$$\sum_{n=0}^m \frac{\partial^{n+1} \rho}{\partial t^{n+1}} \frac{\tau^n}{n!} - a^2 \frac{\partial^2 \rho}{\partial x^2} + \rho \frac{\partial V}{\partial x} + V \frac{\partial \rho}{\partial x} = \sum_{n=0}^m \frac{\partial^n f}{\partial t^n} \frac{\tau^n}{n!} = g(x, t) \quad (1.3.9)$$

Для простоты примем  $g = 0$  и  $V = \text{const}$ :

$$\sum_{n=0}^m \frac{\partial^{n+1} \rho}{\partial t^{n+1}} \frac{\tau^n}{n!} - a^2 \frac{\partial^2 \rho}{\partial x^2} + V \frac{\partial \rho}{\partial x} = 0 \quad (1.3.10)$$

Заменяем неизвестную функцию следующим образом:

$$\rho(x, t) = e^{\xi x} u(x, t) \quad (1.3.11)$$

Тогда

$$\rho_x = e^{\xi x} (u_x + \xi u) \quad (1.3.12)$$

$$\rho_{xx} = e^{\xi x} (u_{xx} + 2\xi u_x + \xi^2 u) \quad (1.3.13)$$

$$-a^2 \rho_{xx} + V \rho_x = e^{\xi x} [-a^2 (u_{xx} + 2\xi u_x + \xi^2 u) + V (u_x + \xi u)] = \quad (1.3.14)$$

$$= e^{\xi x} [-a^2 u_{xx} + (-2a^2 \xi + V) u_x + (-a^2 \xi^2 + V \xi) u] = \quad (1.3.15)$$

$$= e^{\xi x} \left[ -a^2 u_{xx} + \frac{V^2}{4a^2} u \right] \quad (1.3.16)$$

при  $\xi = \frac{V}{2a^2}$  (т.е. коэффициент при  $u_x$  равен 0).

Наконец, получим уравнение, для которого будем исследовать устойчивость его решений:

$$\sum_{n=0}^m \frac{\partial^{n+1} u}{\partial t^{n+1}} \frac{\tau^n}{n!} - a^2 \frac{\partial^2 u}{\partial x^2} + \frac{V^2}{4a^2} u = 0 \quad (1.3.17)$$

Для уравнения (1.3.17) применим **метод Фурье разделения переменных**:

$$u(x, t) = \sum_{k=1}^{\infty} X(x)T(t) \quad (1.3.18)$$

Получим:

$$\sum_{n=0}^m \frac{\tau^n}{n!} T^{(n+1)} X + \frac{V^2}{4a^2} T X = a^2 T X'', \quad k = 1, \dots, \infty \quad (1.3.19)$$

$$\frac{\sum_{n=0}^m \frac{\tau^n}{n!} T^{(n+1)} + \frac{V^2}{4a^2} T}{a^2 T} = \frac{X''}{X} = -\lambda = -k^2 \quad (1.3.20)$$

$$\begin{cases} \sum_{n=0}^m \frac{\tau^n}{n!} T^{(n+1)} + \underbrace{\left( \frac{V^2}{4a^2} + a^2 k^2 \right)}_{\gamma(k^2)} T = 0 \\ X'' + k^2 X = 0 \end{cases} \quad (1.3.21)$$

Как видно, малый параметр входит только в уравнение относительно  $T(t)$ .

Дальнейшей целью настоящего исследования станет вопрос об устойчивости нулевого решения

$$\sum_{n=0}^m \frac{\tau^n}{n!} T^{(n+1)} + \underbrace{\left( \frac{V^2}{4a^2} + a^2 k^2 \right)}_{\gamma(k^2)} T = 0 \quad (1.3.22)$$

при различных  $m$ .

## 1.4 Исследование устойчивости обыкновенного дифференциального уравнения относительно $T(t)$

Напомним, что в данном пункте исследуется уравнение (1.3.22)



$$\sum_{n=0}^m \frac{\tau^n}{n!} T^{(n+1)} + \underbrace{\left( \frac{V^2}{4a^2} + a^2 k^2 \right)}_{\gamma(k^2)} T = 0$$

Выпишем характеристическое уравнение:

$$\sum_{n=0}^m \frac{\tau^n}{n!} \lambda^{n+1} + \gamma(k^2) = 0$$

Согласно общей теории, для алгебраического уравнения

$$a_0 x^n + a_1 x^{n-1} + \dots + a_{n-1} x + a_n = 0, \quad a \neq 0 \quad (1.4.1)$$

выполнена

**Теорема Рауса - Гурвица.** Число корней с положительной частью действительного алгебраического уравнения (1.4.1) равно числу перемен знака в любой из последовательностей

$$\Delta_0, \Delta_1, \frac{\Delta_2}{\Delta_1}, \dots, \frac{\Delta_n}{\Delta_{n-1}} \quad (1.4.2)$$

или

$$\Delta_0, \Delta_1, \Delta_1 \Delta_2, \Delta_2 \Delta_3, \dots, \Delta_{n-2} \Delta_{n-1}, a_n, \quad (1.4.3)$$

где

$$\Delta_0 = a_0 > 0, \quad \Delta_1 = a_1, \quad \Delta_2 = \begin{pmatrix} a_1 & a_0 \\ a_3 & a_2 \end{pmatrix},$$

$$\Delta_3 = \begin{pmatrix} a_1 & a_0 & 0 \\ a_3 & a_2 & a_1 \\ a_5 & a_4 & a_3 \end{pmatrix}, \quad \Delta_4 = \begin{pmatrix} a_1 & a_0 & 0 & 0 \\ a_3 & a_2 & a_1 & a_0 \\ a_5 & a_4 & a_3 & a_2 \\ a_7 & a_6 & a_5 & a_4 \end{pmatrix}, \dots$$

**К р и т е р и й Р а у с а - Г у р в и ц а.** Для того, чтобы все корни действительного уравнения (1.4.1) имели отрицательные действительные части необходимо и достаточно, чтобы выполнялись неравенства:

$$\Delta_0 > 0, \Delta_1 > 0, \dots, \Delta_n > 0$$

Отметим, что согласно построению, можем считать  $\gamma(k^2) \sim k^2$  неограниченным, а  $\tau > 0$  фиксированным.

Таким образом, задача об устойчивости решений дифференциального уравнения относительно  $T(t)$  сводится к нахождению определителей матриц Гурвица для различных  $m$ .

## 1.5 Программное вычисление определителей матрицы Гурвица

В настоящей работе была реализована программа для символьного вычисления определителей матрицы Гурвица для уравнения (1.3.22):

$$\sum_{n=0}^m \frac{\tau^n}{n!} T^{(n+1)} + \underbrace{\left( \frac{V^2}{4a^2} + a^2 k^2 \right)}_{\gamma(k^2)} T = 0$$

Ниже представлены результаты работы программы для различных порядков приближения  $m = 1, \dots, 7$ :

**при  $m = 1$ :**  $\Delta_1 = 1 > 0$ ,  $\Delta_1 = \gamma > 0$

**при  $m = 2$ :**  $\Delta_1 = \tau$ ,  $\Delta_2 = \tau(1 - 0.5\gamma\tau) < 0$ ,  $\Delta_3 = \gamma\tau(1 - 0.5\gamma\tau) < 0$

**при  $m = 3$ :**  $\Delta_1 = 0.5\tau^2$ ,  $\Delta_2 = 0.3334\tau^3$ ,  $\Delta_3 = \tau^3(0.3334 - 0.25\gamma\tau) < 0$ ,  
 $\Delta_4 = \gamma\tau^3(0.3334 - 0.25\gamma\tau) < 0$

при  $m = 4$ :  $\Delta_1 = 0.167\tau^3$ ,  $\Delta_2 = 0.041\tau^5$ ,  $\Delta_3 = \tau^6(0.007\gamma\tau + 0.014)$ ,  
 $\Delta_4 = \tau^6(-0.0017\gamma^2\tau^2 - 0.007\gamma\tau + 0.014) < 0$ ,  
 $\Delta_5 = \gamma\tau^6(-0.0017\gamma^2\tau^2 - 0.0071\gamma\tau + 0.0139)$

при  $m = 5$ :  $\Delta_1 = 0.042\tau^4$ ,  $\Delta_2 = 0.003\tau^7$ ,  $\Delta_3 = 0$ ,  $\Delta_4 = \tau^{10}(0.0001\gamma\tau - 0.0002)$ ,  $\Delta_5 = \tau^{10}(-0.0001\gamma^2\tau^2 + 0.0002\gamma\tau - 0.0002) < 0$ , ...

при  $m = 6$ :  $\Delta_1 = 0.0083\tau^5$ ,  $\Delta_2 = 0.0001\tau^9$ ,  $\Delta_3 = -3.858^{-6}\tau^{12} < 0$ , ...

при  $m = 7$ :  $\Delta_1 = 0.0014\tau^6$ ,  $\Delta_2 = 3.307^{-6}\tau^{11}$ ,  $\Delta_3 = -4.593^{-8}\tau^{15} < 0$ , ...

Построим график  $\Delta_3$  для всех  $m$ , в которых в выражение для него не входит  $\gamma(k^2)$ :

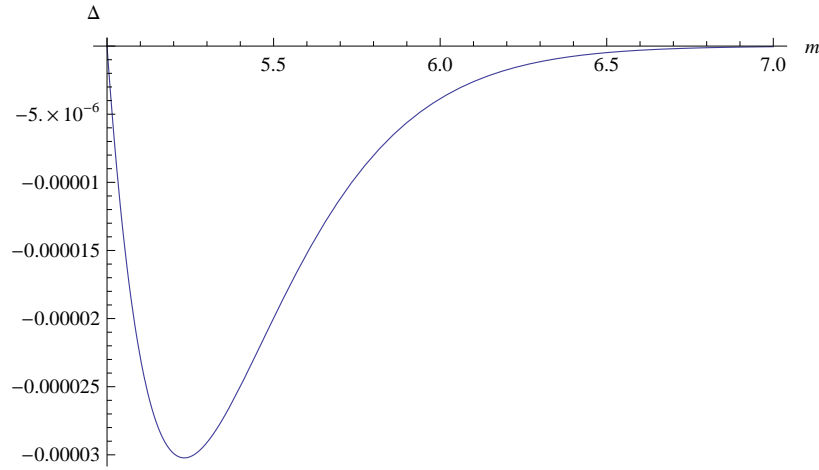


Рис. 1.5.1: График для  $\Delta_3$  при  $5 \leq m \leq 7$

Таким образом, можно сделать вывод, что для любого  $m$ , начиная с 6, хотя бы один из определителей матрицы Гурвица для (1.3.22) отрицателен. Так как,  $T_0 = a_0 = \frac{\tau^m}{m!} > 0$  для  $\tau > 0$ . В аналитической части работы данный факт будет аналитически доказан, а также будет доказана теорема о неустойчивости всех приближений (1.3.22) кроме первого.

## 2 Аналитическое исследование поставленной задачи

### 2.1 Теорема о неустойчивости приближений старших порядков

Напомним, что в настоящей работе исследуется задача

$$\begin{cases} \rho_t(\bar{x}, t) + \operatorname{div} \bar{J}(\bar{x}, t) = f(\bar{x}, t), \\ \bar{J}(\bar{x}, t + \tau) = -a^2 \nabla \rho(\bar{x}, t) + \bar{V}(\bar{x}, t) \rho(\bar{x}, t) \end{cases} \quad (2.1.1)$$

Для нее в условиях

1. одномерной задачи,
2.  $\rho(x, t) = e^{\frac{V}{2a^2}x} u(x, t)$ ,
3.  $\sum_{n=0}^m \frac{\partial^n f}{\partial t^n} \frac{\tau^n}{n!} = g(x, t) \equiv 0 \Leftrightarrow f(x, t) \equiv 0$ ,
4.  $V = \text{const}$

были построены приближения

$$\sum_{n=0}^m \frac{\partial^{n+1} u}{\partial t^{n+1}} \frac{\tau^n}{n!} - a^2 \frac{\partial^2 u}{\partial x^2} + \frac{V^2}{4a^2} u = 0, \quad (2.1.2)$$

решения которых устойчивы при устойчивости решений обыкновенного дифференциального уравнения

$$\sum_{n=0}^m \frac{\tau^n}{n!} T^{(n+1)} + \underbrace{\left( \frac{V^2}{4a^2} + a^2 k^2 \right)}_{\gamma(k^2)} T = 0 \quad (2.1.3)$$

и неустойчивы в противном случае.

При анализе результатов моделирования было выдвинуто предположение о неустойчивости всех приближений, начиная с  $m = 6$ .

**Теорема о неустойчивости приближений старших порядков.** Приближения (2.1.2) задачи (2.1) всех порядков кроме  $m = 1$  неустойчивы.

Для доказательства теоремы сначала докажем следующее утверждение:

**Утверждение.**  $\Delta_3 < 0$  при  $m \geq 6$ .

Выпишем общий вид определителя матрицы Гурвица при  $k = 3$ :

$$\Delta_3 = \begin{vmatrix} \frac{\tau^{m-1}}{(m-1)!} & \frac{\tau^m}{m!} & 0 \\ \frac{\tau^{m-3}}{(m-3)!} & \frac{\tau^{m-2}}{(m-2)!} & \frac{\tau^{m-1}}{(m-1)!} \\ \frac{\tau^{m-5}}{(m-5)!} & \frac{\tau^{m-4}}{(m-4)!} & \frac{\tau^{m-3}}{(m-3)!} \end{vmatrix} = \frac{\tau^{m-1}}{(m-1)!} \begin{vmatrix} \frac{\tau^{m-2}}{(m-2)!} & \frac{\tau^{m-1}}{(m-1)!} \\ \frac{\tau^{m-4}}{(m-4)!} & \frac{\tau^{m-3}}{(m-3)!} \end{vmatrix} - \frac{\tau^m}{m!} \begin{vmatrix} \frac{\tau^{m-3}}{(m-3)!} & \frac{\tau^{m-1}}{(m-1)!} \\ \frac{\tau^{m-5}}{(m-5)!} & \frac{\tau^{m-3}}{(m-3)!} \end{vmatrix}$$

$$\Delta_3 = \frac{\tau^{m-1}}{(m-1)!} \frac{\tau^{m-2}}{(m-2)!} \frac{\tau^{m-4}}{(m-4)!} \begin{vmatrix} 1 & \frac{\tau}{m-1} \\ 1 & \frac{\tau}{m-3} \end{vmatrix} - \frac{\tau^m}{m!} \frac{\tau^{m-3}}{(m-3)!} \frac{\tau^{m-5}}{(m-5)!} \begin{vmatrix} 1 & \frac{\tau^2}{(m-2)(m-1)} \\ 1 & \frac{\tau^2}{(m-4)(m-3)} \end{vmatrix}$$

$$\Delta_3 = \frac{\tau^{3m-7}}{(m-1)!(m-2)!(m-4)!} \left( \frac{\tau}{m-3} - \frac{\tau}{m-1} \right) - \frac{\tau^{3m-8}}{m!(m-3)!(m-5)!} \left( \frac{\tau^2}{(m-4)(m-3)} - \frac{\tau^2}{(m-2)(m-1)} \right)$$

$$\Delta_3 = \tau^{3m-6} \left( \frac{(m-1) - (m-3)}{(m-1)!(m-2)!(m-4)!(m-3)(m-1)} - \frac{(m-2)(m-1) - (m-4)(m-3)}{m!(m-3)!(m-5)!(m-4)(m-3)(m-2)(m-1)} \right)$$

$$\begin{aligned}\Delta_3 &= \frac{\tau^{3m-6}}{m!(m-1)!(m-3)!}(2m - (-3m + 2 + 7m - 12)) = \\ &= \frac{\tau^{3m-6}}{m!(m-1)!(m-3)!}(10 - 2m) < 0\end{aligned}$$

при  $m \geq 6$ .

Таким образом, осталось доказать неустойчивость нулевого решения 2.1.3 при  $1 \leq m \leq 5$  в предположениях достаточно больших значений  $\gamma(k^2)$  и ограниченности  $\tau$ .

**при  $m = 1$ :**  $\Delta_1 = 1 > 0$ ,  $\Delta_1 = \gamma > 0$

**при  $m = 2$ :**  $\Delta_1 = \tau > 0$ ,  $\Delta_2 = \tau(1 - \frac{1}{2}\gamma\tau) < 0$ ,  $\Delta_3 = \gamma\tau(1 - \frac{1}{2}\gamma\tau) < 0$

**при  $m = 3$ :**  $\Delta_1 = \frac{1}{2}\tau^2 > 0$ ,  $\Delta_2 = \frac{1}{3}\tau^3 > 0$ ,  $\Delta_3 = \tau^3(\frac{1}{3} - \frac{1}{4}\gamma\tau) < 0$ ,  
 $\Delta_4 = \gamma\tau^3(\frac{1}{3} - \frac{1}{4}\gamma\tau) < 0$

**при  $m = 4$ :**  $\Delta_1 = \frac{1}{6}\tau^3 > 0$ ,  $\Delta_2 = \frac{1}{24}\tau^5 > 0$ ,  $\Delta_3 = \frac{1}{144}\tau^6(2 + \gamma\tau) > 0$ ,  
 $\Delta_4 = \frac{1}{576}\tau^6(8 - 4\gamma\tau - \gamma^2\tau^2) < 0$ ,  $\Delta_5 = \frac{1}{576}\gamma\tau^6(8 - 4\gamma\tau - \gamma^2\tau^2) < 0$

**при  $m = 5$ :**  $\Delta_1 = \frac{1}{24}\tau^4 > 0$ ,  $\Delta_2 = \frac{1}{360}\tau^7 > 0$ ,  $\Delta_3 = 0$ ,  
 $\Delta_4 = \frac{1}{14400}\tau^{10}(\frac{8}{3} + \frac{5}{3}\gamma\tau) > 0$ ,  $\Delta_5 = \frac{1}{14400}\tau^{10}(-\frac{8}{3} + \frac{10}{3}\gamma\tau - \frac{25}{24}\gamma^2\tau^2) < 0$ ,  
 $\Delta_6 = \frac{1}{14400}\gamma\tau^{10}(-\frac{8}{3} + \frac{10}{3}\gamma\tau - \frac{25}{24}\gamma^2\tau^2) < 0$

Теорема доказана.

Таким образом, для всех приближений кроме первого нарушается условие непрерывной зависимости решений от начальных данных в силу их неустойчивости, т.е сами приближения – некорректно поставленные по Ада-

мару задачи.

## 2.2 Устойчивость решений дифференциального уравнения с запаздыванием по времени

Напомним, что предварительно было получен общий вид уравнения с запаздыванием 1.2.7 для исходной задачи:

$$\rho_t(\bar{x}, t) = -a^2 \Delta \rho(\bar{x}, t - \tau) + \rho(\bar{x}, t - \tau) \operatorname{div} \bar{V}(\bar{x}, t - \tau) + (\bar{V}(\bar{x}, t - \tau), \nabla \rho(\bar{x}, t - \tau))$$

В тех же условиях, для которых были получены приближения для него (они перечислены, например, в начале пункта [??]), можно вывести следующее:

$$\rho_t(x, t) - a^2 \rho_{xx}(x, t - \tau) + V \rho_x(x, t - \tau) = 0 \quad (2.2.1)$$

Так как подобный вывод уже был произведен в пункте [1.3], опустим подробности и получим:

$$u_t(x, t) - a^2 u_{xx}(x, t - \tau) + \frac{V^2}{4a^2} u(x, t - \tau) = 0 \quad (2.2.2)$$

Уравнение (2.2.2) – **уравнение реакции-диффузии с запаздыванием по времени.**

Отметим, что в недавней работе [20] было построено аналитическое решение похожей задачи

$$u_t(x, t) - a^2 u_{xx}(x, t) + \frac{V^2}{4a^2} u(x, t - \tau) = 0 \quad (2.2.3)$$

Для (2.2.2) применим метод Фурье разделения переменных:

$$u(x, t) = \sum_{k=1}^{\infty} X_k(x) T_k(t) \quad (2.2.4)$$

Отметим, что, вообще говоря, метод Фурье неприменим к любому дифференциальному уравнению с запаздыванием (даже линейному), но в данном случае с его помощью можно получить такие результаты:

$$X(x)T'(t) + \frac{V^2}{4a^2}X(x)T(t - \tau) = a^2X''(x)T(t - \tau), \quad k = 1, \dots, \infty \quad (2.2.5)$$

$$\frac{T'(t) + \frac{V^2}{4a^2}T(t - \tau)}{a^2T(t - \tau)} = \frac{X''(x)}{X(x)} = -\lambda = -k^2 \quad (2.2.6)$$

Наконец, получим:

$$\begin{cases} T'(t) + \underbrace{\left(\frac{V^2}{4a^2} + a^2k^2\right)}_{\gamma(k^2)} T(t - \tau) = 0 \\ X'' + k^2X = 0 \end{cases} \quad (2.2.7)$$

Поставим задачу Коши с постоянной начальной функцией для уравнения относительно  $T(t)$ :

$$\begin{cases} T'_k(t) + \underbrace{\left(\frac{V^2}{4a^2} + a^2k^2\right)}_{\gamma(k^2)} T_k(t - \tau) = 0, & t > 0, \\ T_k(t) = T_k^0, & -\tau \leq t \leq 0. \end{cases} \quad (2.2.8)$$

Отметим, что если в нем совершить формальный временной сдвиг на  $\tau$  и применить уже используемое в настоящей работе разложение

$$T(t + \tau) = T(t) + \tau T'(t) + \dots + \frac{\tau^n}{n!} T^{(n)}(t) + \dots, \quad (2.2.9)$$



то получим исходные приближения (2.1.2), для которых уже был исследован вопрос устойчивости.

Для решений уравнения из задачи (2.2.8) справедливо характеристическое уравнение

$$\lambda_k + \gamma(k^2)e^{-\lambda_k\tau} = 0 \quad (2.2.10)$$

Устойчивость (2.1.2) зависит от знаков вещественных частей  $Re(\lambda_k)$ .

### 2.3 Достаточное условие неположительности знаков вещественных частей корней характеристического уравнения

Напомним, что задача свелась к поиску параметров таких, что все вещественные части корней характеристического уравнения

$$\phi(z) = z + \gamma e^{-z\tau} \quad (2.3.1)$$

отрицательны.

Приведем вспомогательную теорему:

**Т е о р е м а Р у ш е** Если комплекснозначные функции  $f(z)$  и  $g(z)$  голоморфны в односвязной области  $G$ , а на её границе  $\delta G$  выполняется неравенство  $|g(z)| < |f(z)|$ , то  $f(z)$  и  $(f + g)(z)$  имеют одинаковое число нулей с учетом кратности.

Данную теорему используем в доказательстве следующего факта:

**Д о с т а т о ч н о е   у с л о в и е   о т с у т с т в и я   к о р н е й   с   п о - л о ж и т е л ь н ы м и   в е щ е с т в е н н ы м и   ч а с т я м и   х а р а к - т е р е с т и ч е с к о г о   у р а в н е н и я**  $\phi(z) = z + \gamma e^{-z\tau}$ .

$$\phi(z) = z + \gamma e^{-z\tau}$$

не имеет корней положительными вещественными частями при  $\gamma\tau < 1$ .

Для доказательства этого факта представим  $\phi(z)$  в следующем виде:

$$\phi(z) = \underbrace{z + \gamma}_{H_1(z)} + \underbrace{z\gamma\tau \left( \frac{e^{-z\tau} - 1}{z\tau} \right)}_{H_2(z)} = 0 \quad (2.3.2)$$

Рассмотрим функции  $H_1(z)$  и  $H_2(z)$  в области  $D = \{z | \operatorname{Re}(z) \geq 0\}$ . Её границей будет ось чисто мнимых чисел  $\delta D = \{z | \operatorname{Re}(z) = 0\}$ .

Отметим, что  $H_1(z) > 0$  в открытой области  $D - \delta D$  при любом  $z$ .

Представим  $z = x + iy$  и рассмотрим  $H_1(z)$  и  $H_2(z)$  в области  $\delta D$  (т.е.  $z = iy$ ):

$$|H_1(iy)| = \sqrt{\gamma^2 + y^2} > |y| = |z| \quad (2.3.3)$$

Представим  $H_2(z)$ :

$$H_2(z) = z\gamma\tau \underbrace{\left( \frac{e^{-z\tau} - 1}{z\tau} \right)}_{h(z)} \quad (2.3.4)$$

$$h(iy) = \frac{\cos(y\tau) - i\sin(y\tau) - 1}{iy\tau} = -\frac{\sin(y\tau)}{y\tau} - i\frac{\cos(y\tau) - 1}{y\tau} \quad (2.3.5)$$

Обозначим  $\alpha = y\tau$

$$|h(iy)|^2 = \frac{\sin^2(\alpha)}{\alpha^2} + \frac{(\cos(\alpha) - 1)^2}{\alpha^2} = \frac{2 - 2\cos(\alpha)}{\alpha^2} \leq 1 \quad (2.3.6)$$

Для наглядности приведем график  $|h(iy)|^2$ :

Таким образом,

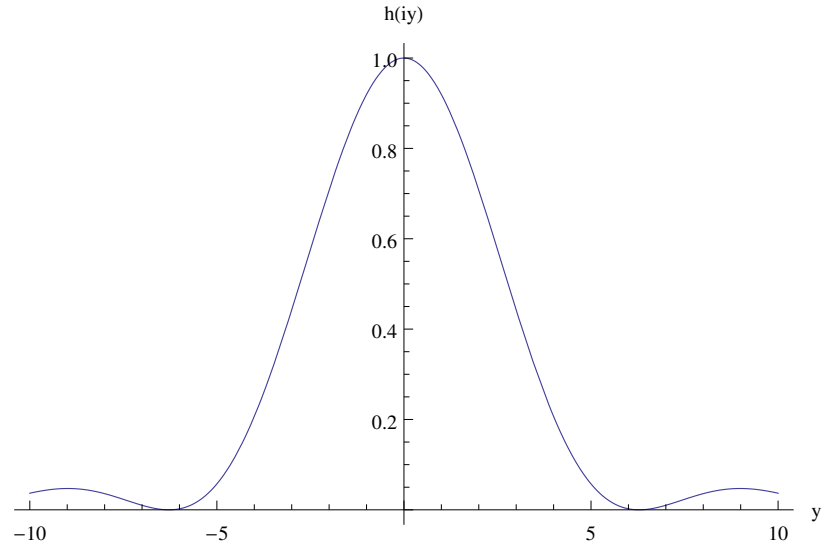


Рис. 2.3.1: График для  $|h(iy)|^2$  при  $-10 \leq y \leq 10$

$$|H_2(iy)| \leq |y|\gamma\tau = |z|\gamma\tau \quad (2.3.7)$$

Объединяя (2.3.3) и (2.3.7) и потребовав  $\gamma\tau < 1$ , получим

$$|H_2(z)| < |z| < |H_1(z)| \quad (2.3.8)$$

на границе области  $D$ . Таким образом, выполнены все условия теоремы Руше и у  $\phi(z)$  нет нулей в  $D$ .

Таким образом,  $\gamma\tau < 1$  – достаточное условие устойчивости решений дифференциального уравнения с запаздыванием.

$$T'_k(t) + \gamma(k^2)T_k(t - \tau) = 0 \quad (2.3.9)$$

Отметим, что сколь угодно бы малым не было  $\tau > 0$  всегда можно найти такой номер  $k$ , начиная с которого не выполняется достаточное условие устойчивости  $\gamma\tau < 1$ .

### 3 Результаты проведенного анализа

Цель данного раздела настоящей работы – сравнение решений обыкновенного дифференциального уравнения с запаздыванием

$$T'_k(t) - \gamma(k^2)T_k(t - \tau) = 0 \quad (3.0.1)$$

и его приближений обыкновенными дифференциальными уравнениями уже без запаздывания:

$$\sum_{n=1}^m \frac{\tau^{n-1}}{(n-1)!} T_k^{(n)}(t) + \gamma(k^2)T_k(t) = 0 \quad (3.0.2)$$

В предыдущих главах было доказано, что достаточным условием устойчивости (3.0.1) является соотношение  $\gamma\tau < 1$ . Приближения (3.0.2) же, вообще говоря, всегда неустойчивы при порядках  $m \geq 6$  и неустойчивы в предположениях фиксированного малого  $\tau$  для порядков  $m \geq 2$ . Приближение порядка  $m = 1$  всегда устойчиво.

В рамках работы была написана программа для построения графиков решений задач Коши для функций (3.0.1) и (3.0.2) в зависимости от параметров

1.  $\tau$  – величины запаздывания,
2.  $k$  – порядка члена ряда Фурье,
3.  $m$  – порядка приближения.

Начальной функцией предполагается единичная функция на  $[-\tau, 0]$ . Скорости  $a$  и  $v$  для простоты примем также единичными.

Будем обозначать как  $T$  решение (3.0.1) и как  $Tm$  – решение 3.0.2.

### 3.1 Графики решений при $\tau = 0.1$ , $k = 1$

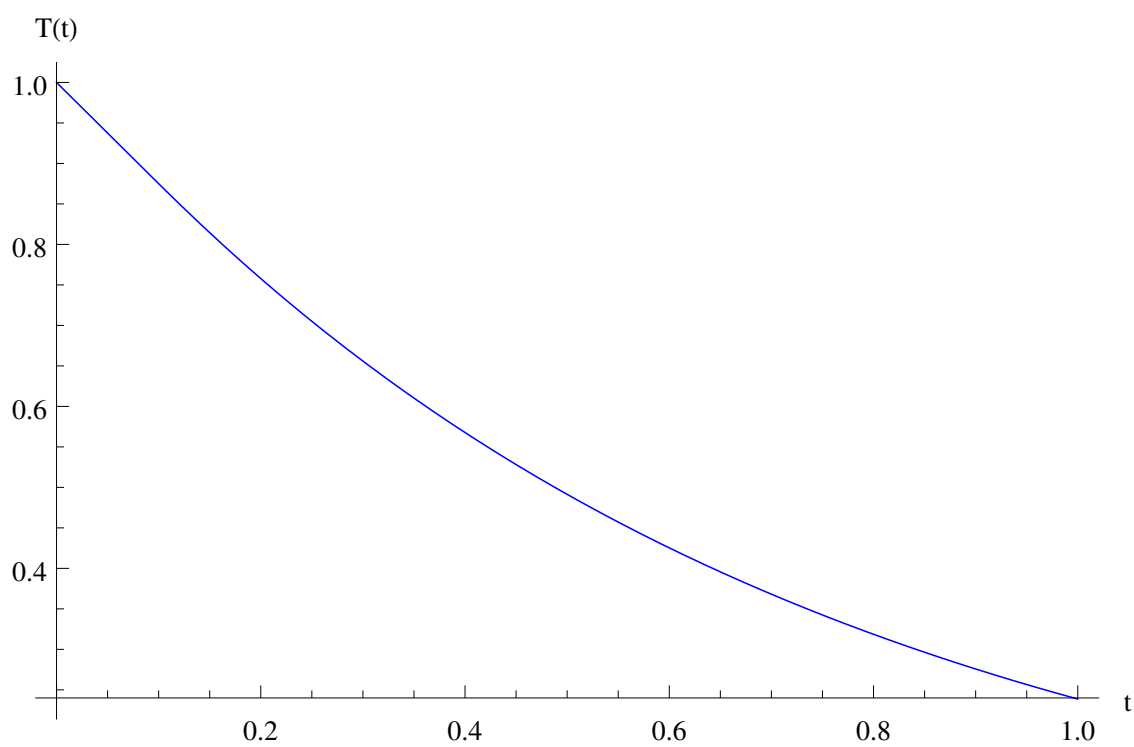


Рис. 3.1.1: График для  $T(t)$  при  $\tau = 0.1$ ,  $k = 1$ ,  $m = 1$

### 3.1.1 Приближение порядка $m = 1$

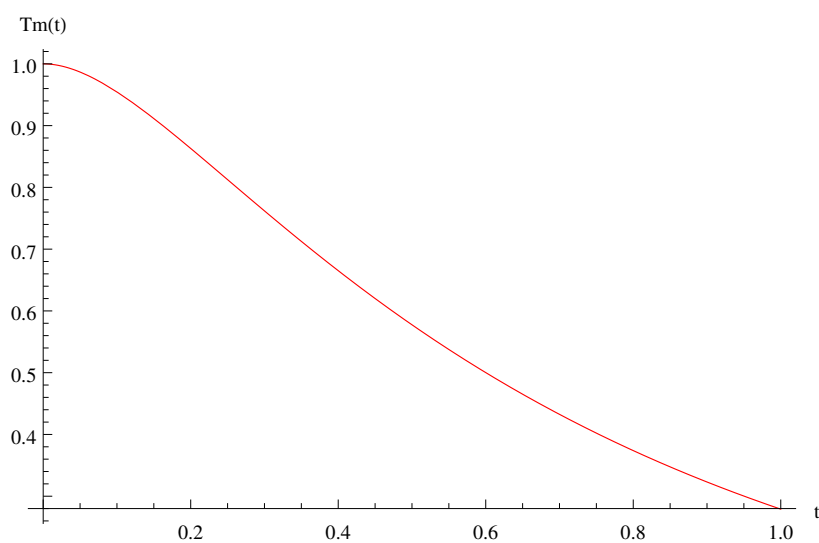


Рис. 3.1.2: График для  $Tm(t)$  при  $\tau = 0.1$ ,  $k = 1$ ,  $m = 1$

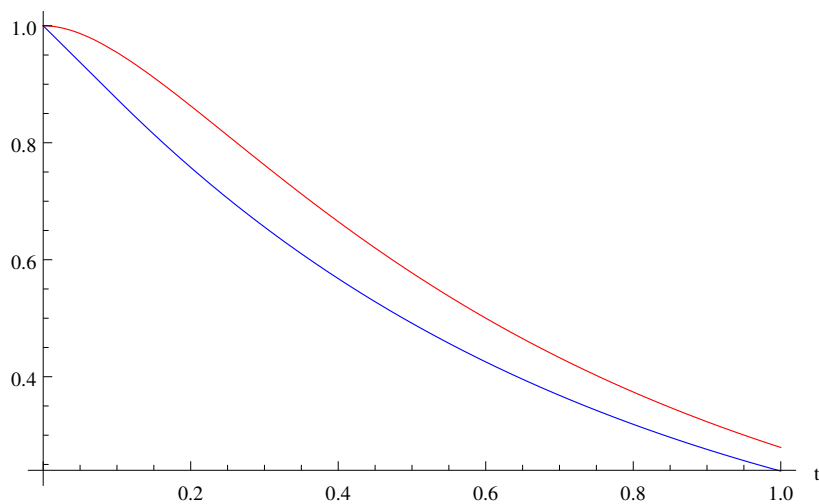


Рис. 3.1.3: Общий график при  $\tau = 0.1$ ,  $k = 1$ ,  $m = 1$

### 3.1.2 Приближение порядка $m = 2$

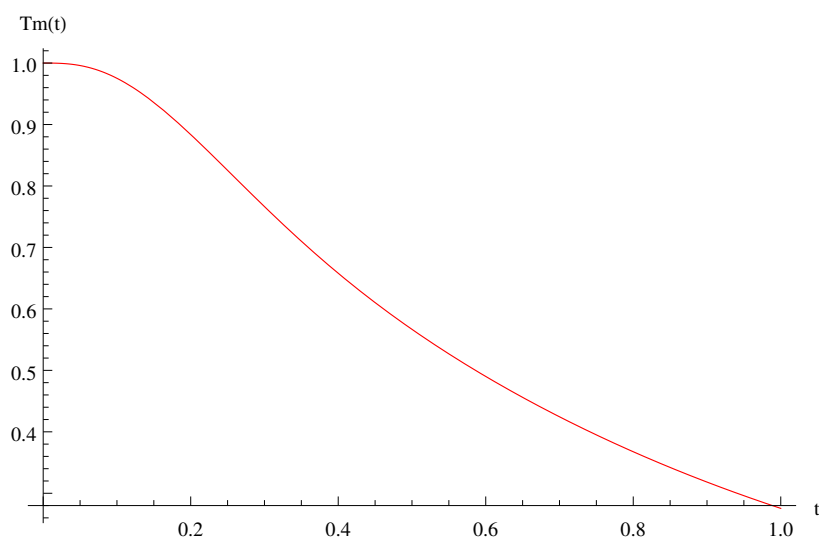


Рис. 3.1.4: График для  $Tm(t)$  при  $\tau = 0.1$ ,  $k = 1$ ,  $m = 2$

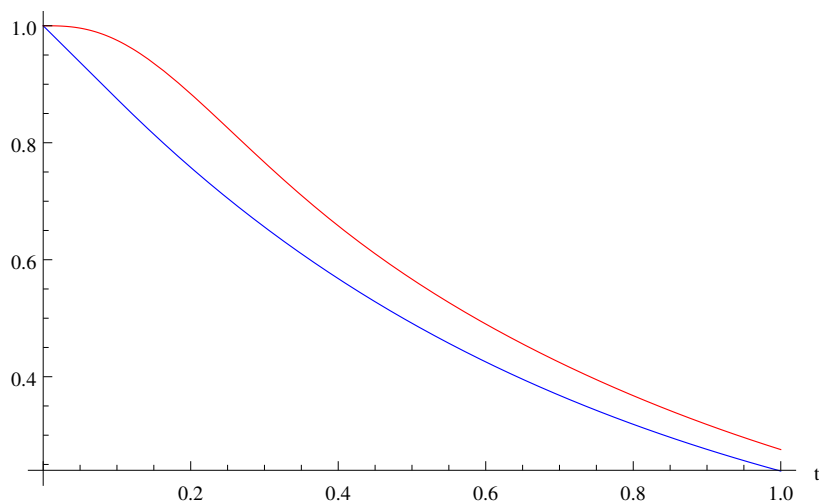


Рис. 3.1.5: Общий график при  $\tau = 0.1$ ,  $k = 1$ ,  $m = 2$

### 3.1.3 Приближение порядка $m = 3$

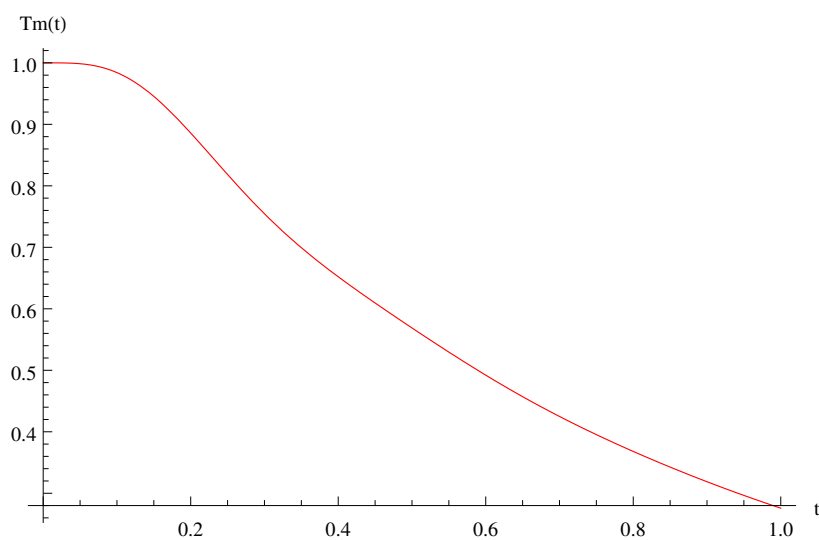


Рис. 3.1.6: График для  $Tm(t)$  при  $\tau = 0.1$ ,  $k = 1$ ,  $m = 3$

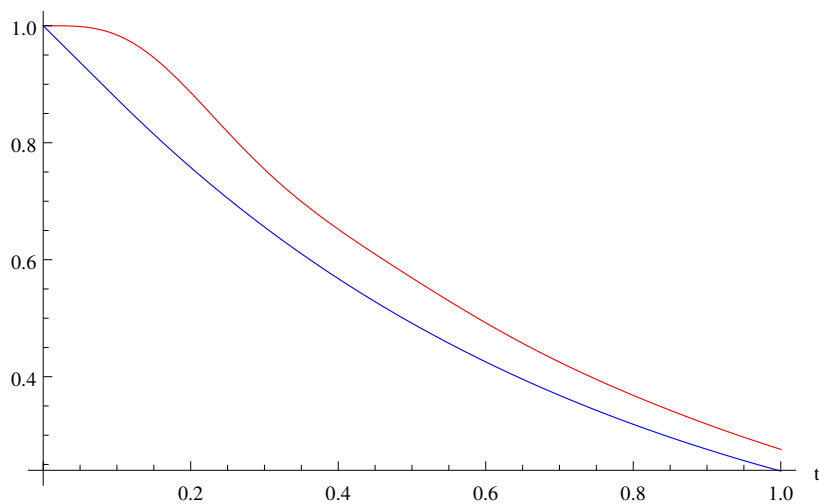


Рис. 3.1.7: Общий график при  $\tau = 0.1$ ,  $k = 1$ ,  $m = 3$



### 3.1.4 Приближение порядка $m = 4$

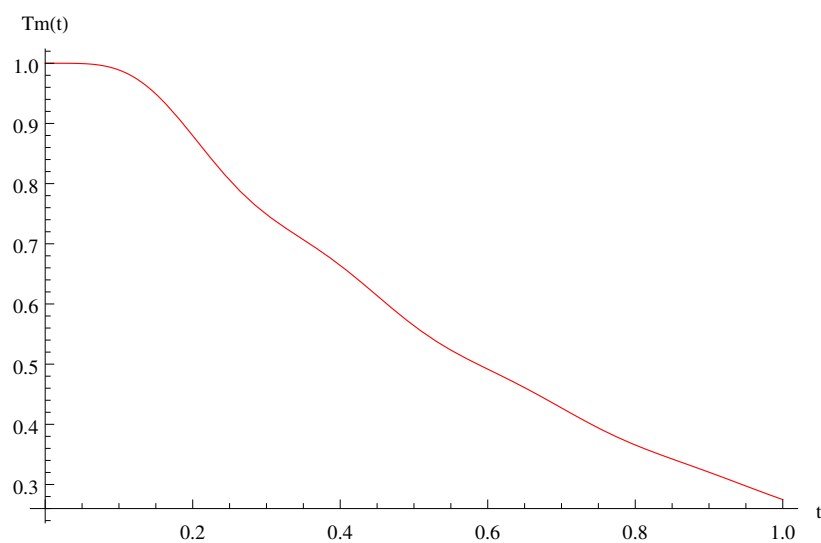


Рис. 3.1.8: График для  $Tm(t)$  при  $\tau = 0.1$ ,  $k = 1$ ,  $m = 4$

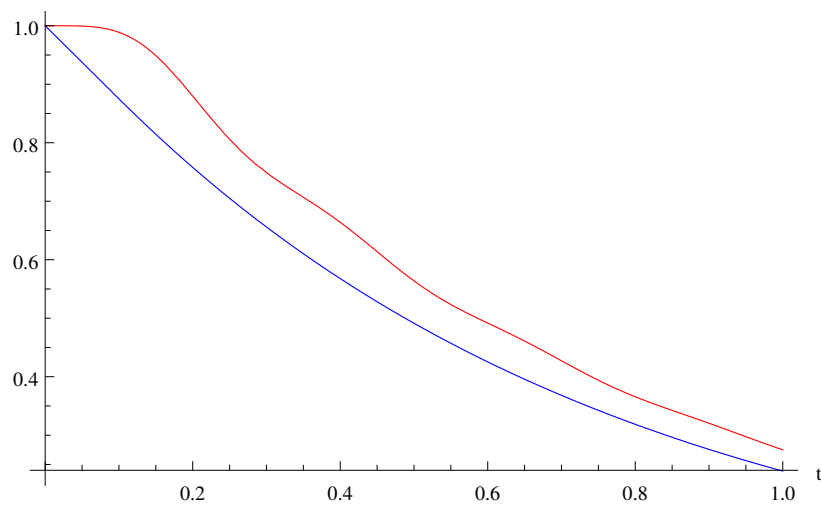


Рис. 3.1.9: Общий график при  $\tau = 0.1$ ,  $k = 1$ ,  $m = 4$

### 3.1.5 Приближение порядка $m = 5$

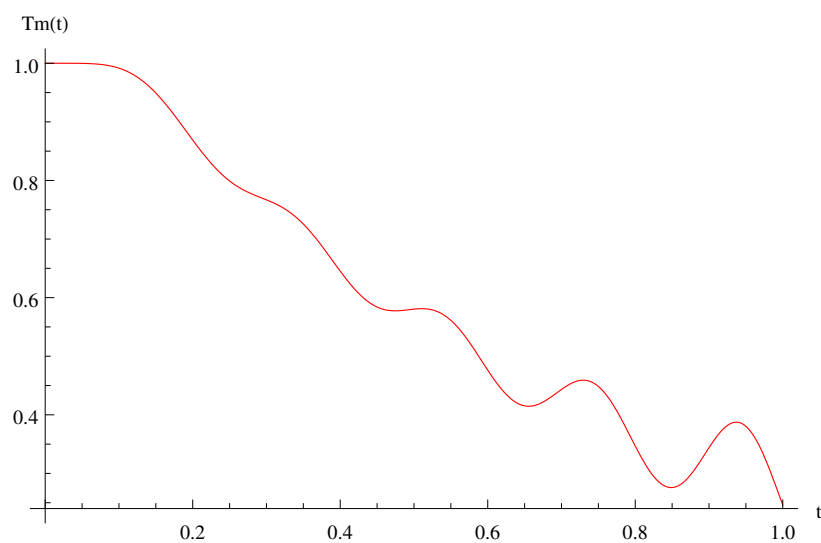


Рис. 3.1.10: График для  $Tm(t)$  при  $\tau = 0.1$ ,  $k = 1$ ,  $m = 5$

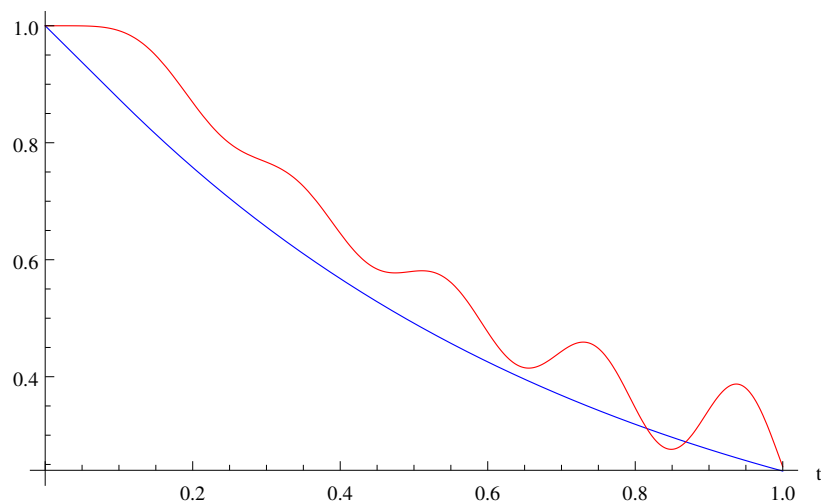


Рис. 3.1.11: Общий график при  $\tau = 0.1$ ,  $k = 1$ ,  $m = 5$

### 3.1.6 Приближение порядка $m = 6$

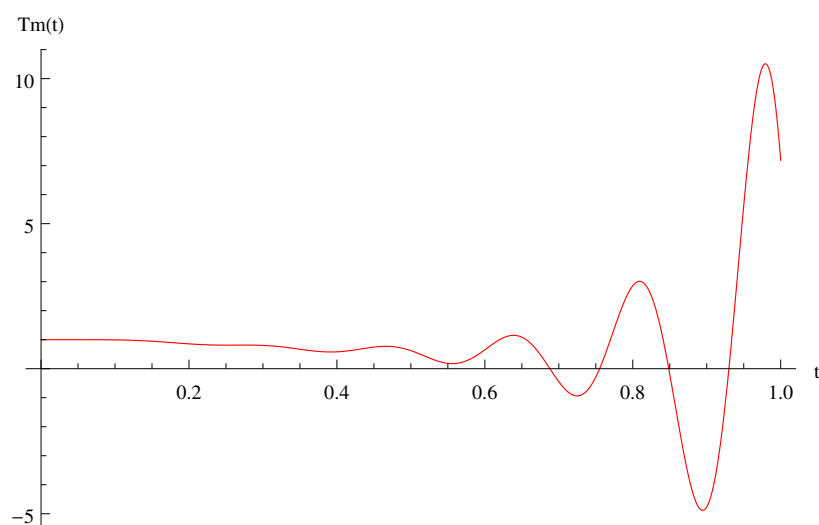


Рис. 3.1.12: График для  $Tm(t)$  при  $\tau = 0.1$ ,  $k = 1$ ,  $m = 6$

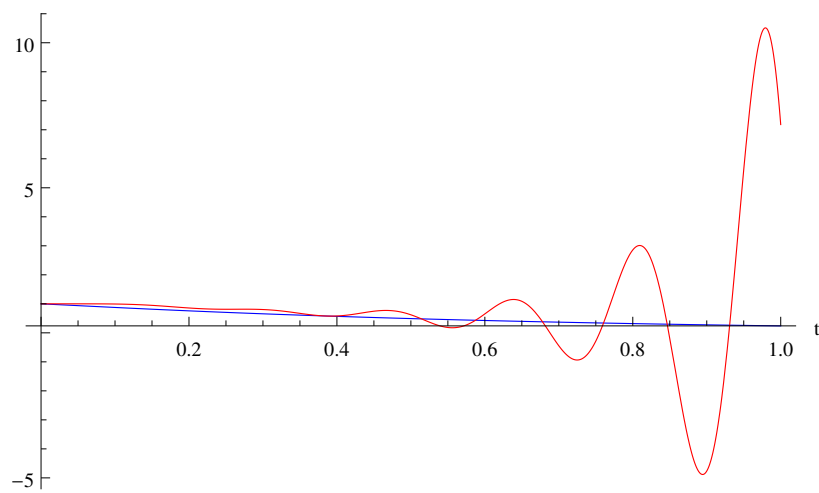


Рис. 3.1.13: Общий график при  $\tau = 0.1$ ,  $k = 1$ ,  $m = 6$

## 3.2 Графики решений при $\tau = 0.1$ , $k = 2$

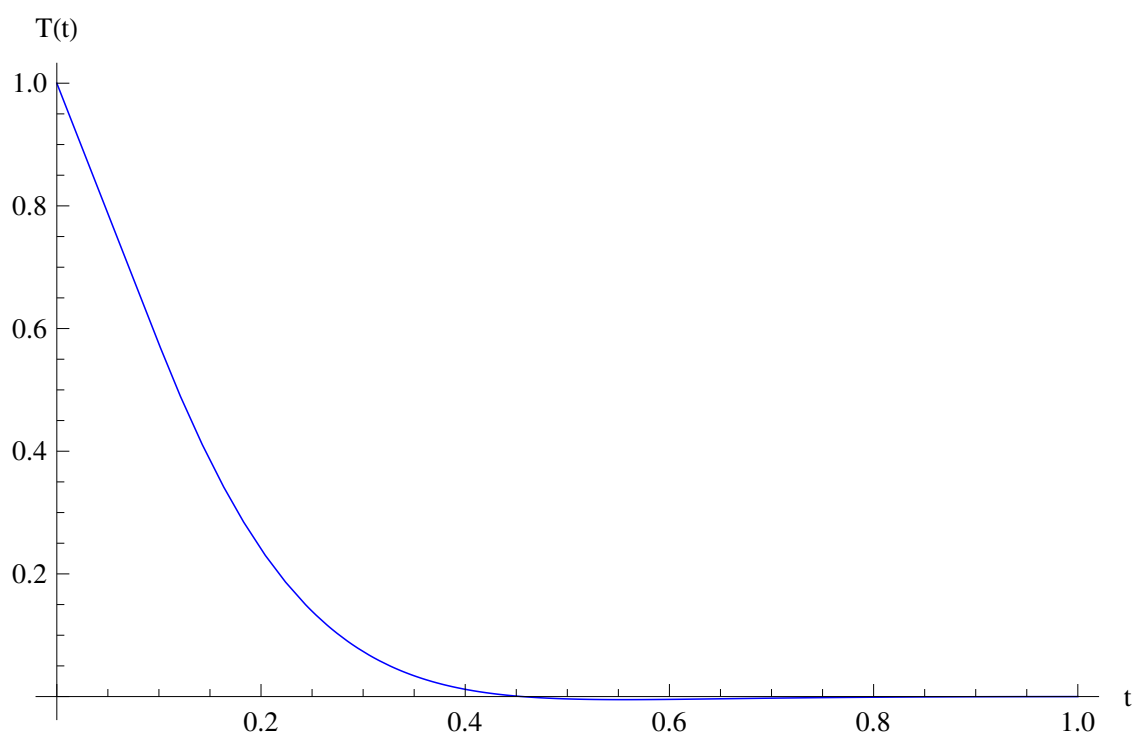


Рис. 3.2.1: График для  $T(t)$  при  $\tau = 0.1$ ,  $k = 2$ ,  $m = 1$

### 3.2.1 Приближение порядка $m = 1$

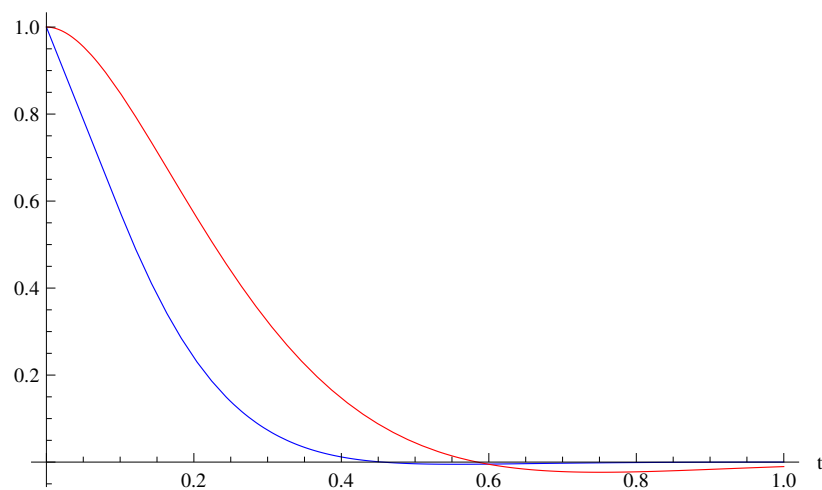


Рис. 3.2.2: График для  $Tm(t)$  при  $\tau = 0.1$ ,  $k = 2$ ,  $m = 1$

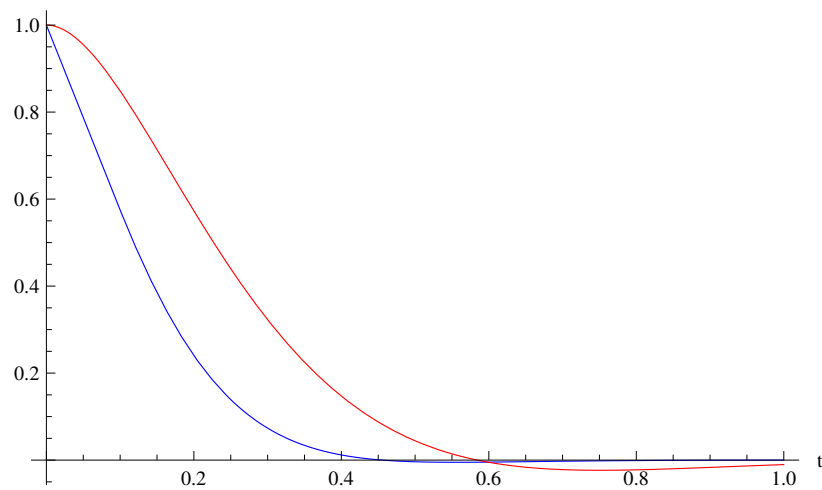


Рис. 3.2.3: Общий график при  $\tau = 0.1$ ,  $k = 2$ ,  $m = 1$

### 3.2.2 Приближение порядка $m = 2$

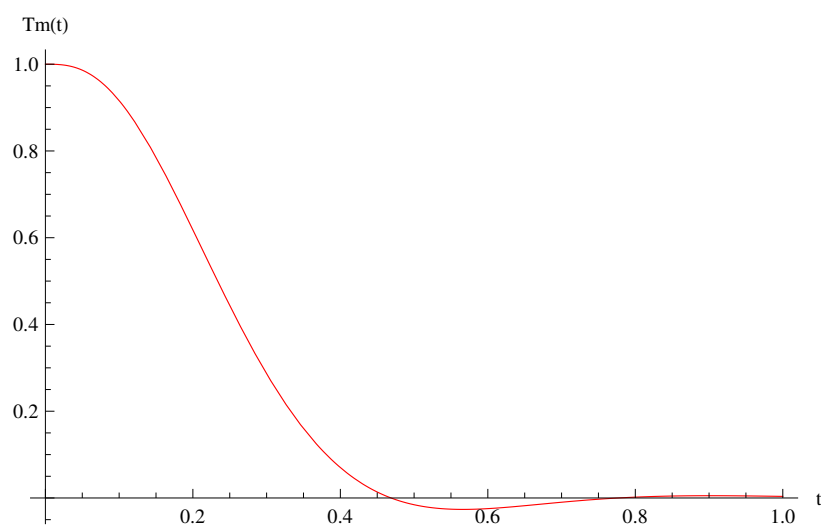


Рис. 3.2.4: График для  $Tm(t)$  при  $\tau = 0.1$ ,  $k = 2$ ,  $m = 2$

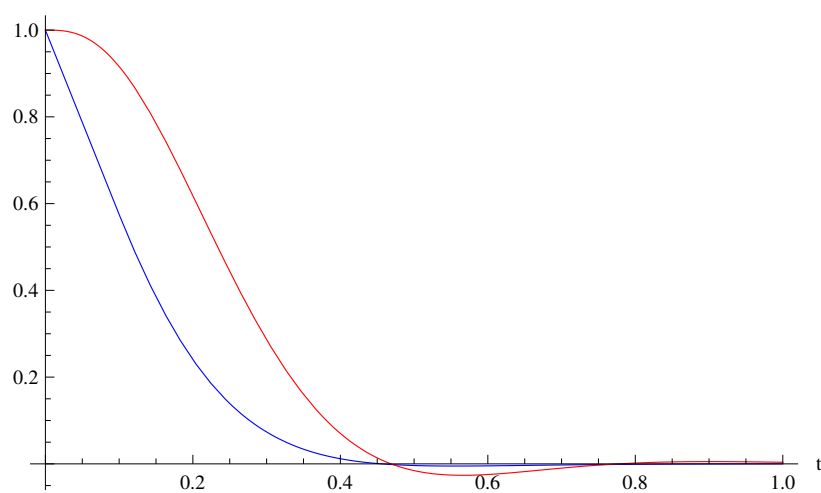


Рис. 3.2.5: Общий график при  $\tau = 0.1$ ,  $k = 2$ ,  $m = 2$

### 3.2.3 Приближение порядка $m = 3$

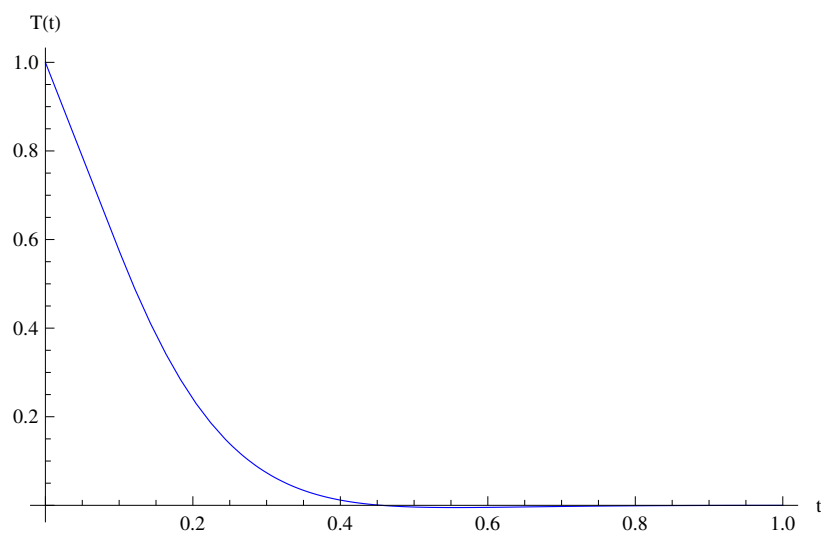


Рис. 3.2.6: График для  $Tm(t)$  при  $\tau = 0.1$ ,  $k = 2$ ,  $m = 3$

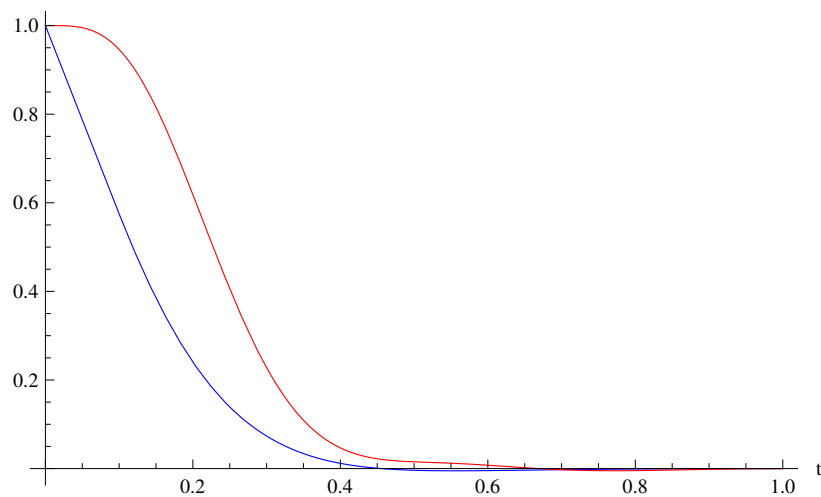


Рис. 3.2.7: Общий график при  $\tau = 0.1$ ,  $k = 2$ ,  $m = 3$

### 3.2.4 Приближение порядка $m = 4$

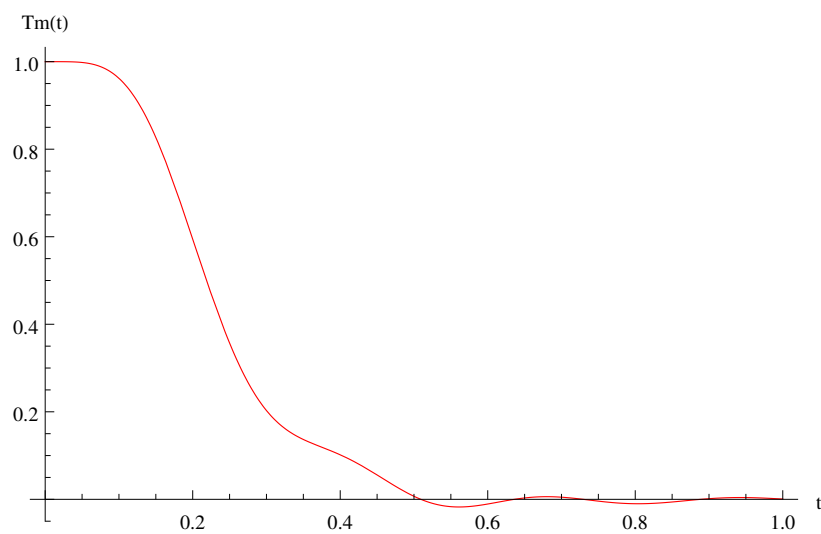


Рис. 3.2.8: График для  $Tm(t)$  при  $\tau = 0.1$ ,  $k = 2$ ,  $m = 4$

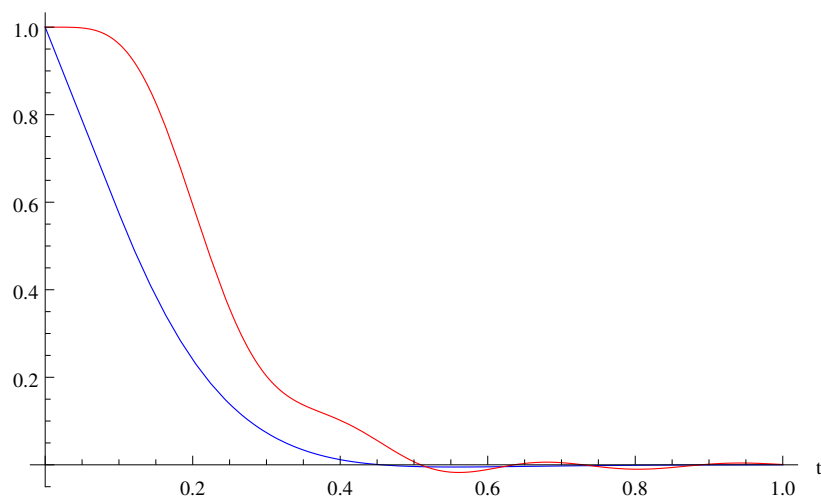


Рис. 3.2.9: Общий график при  $\tau = 0.1$ ,  $k = 2$ ,  $m = 4$



### 3.2.5 Приближение порядка $m = 5$

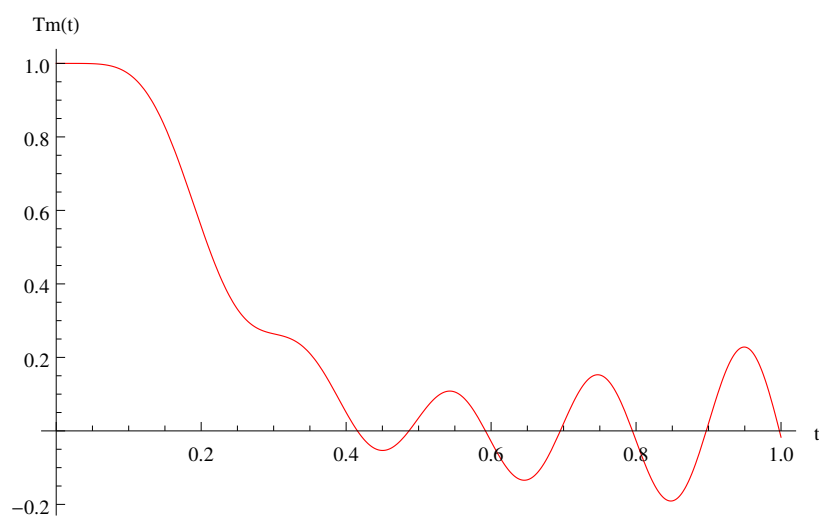


Рис. 3.2.10: График для  $Tm(t)$  при  $\tau = 0.1$ ,  $k = 2$ ,  $m = 5$

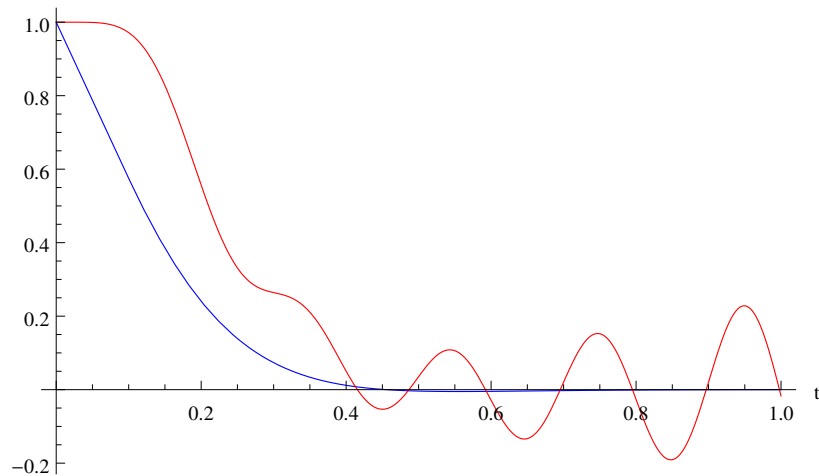


Рис. 3.2.11: Общий график при  $\tau = 0.1$ ,  $k = 2$ ,  $m = 5$

### 3.2.6 Приближение порядка $m = 6$

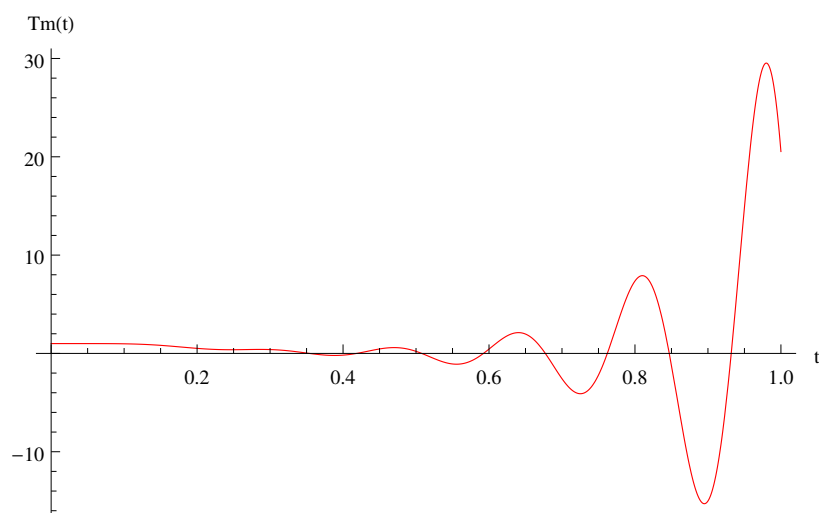


Рис. 3.2.12: График для  $Tm(t)$  при  $\tau = 0.1$ ,  $k = 2$ ,  $m = 6$

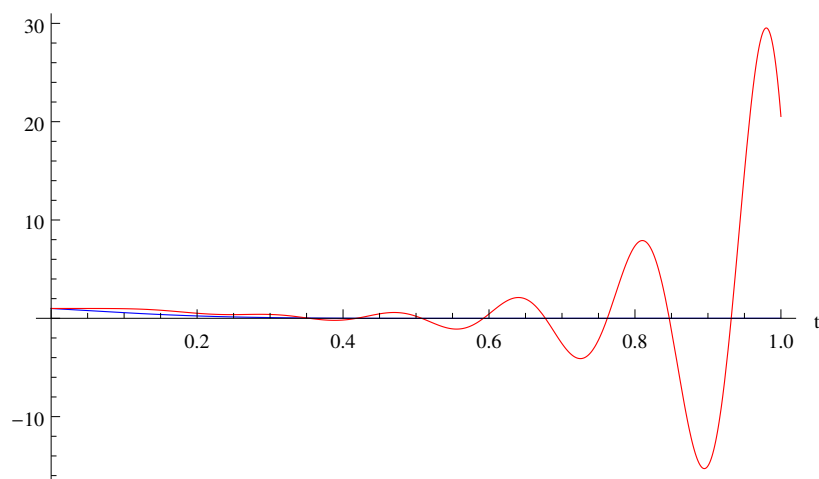


Рис. 3.2.13: Общий график при  $\tau = 0.1$ ,  $k = 2$ ,  $m = 6$

### 3.3 Промежуточный вывод

В [3.1] и [3.2] были рассмотрены корректно поставленные задачи Коши для уравнения (3.0.1) и рассмотрены их первые 6 приближений (3.0.2).

На основании этих данных можно сделать следующие выводы:

1. Увеличение порядка приближения  $m$  не гарантирует лучшей аппроксимации решения (3.0.1).
2. Открыт вопрос о выборе начальных условий в задаче Коши для приближений: эвристический подход с выбором их как значений функции истории и её производных в начальной точке неоптимален.
3. Открыт вопрос о временном интервале и его зависимости от запаздывания  $\tau$ , на которых приближения адекватны.

Далее приведем модели с гораздо большими значениями  $k$ , иллюстрирующие случаи некорректности задачи и пограничные к ним.

## 4 Приложение математического моделирования для исследования экономических процессов

В экономической части настоящей работы будет рассмотрена **модель капитализации Калецкого (Kalecki)**. Данная модель – одно из первых распространенных приложений дифференциальных уравнений с запаздыванием. Впервые описание данной модели самим Калецким было представлено в работе [17].

## Заключение

## Список литературы

- [1] Васильева А.Б., О дифференциальных уравнениях, содержащих малые параметры, Матем. сб., 31(73):3, 1952, 587–644.
- [2] Васильева А.Б., Бутузов В.Ф., Асимптотические методы в теории сингулярных возмущений, М.: Высшая школа, 1990.
- [3] Ерофеев В.Т., Козловская И.С., Уравнения с частными производными и математические модели в экономике, М.: Едиториал УРСС, 2004.
- [4] Зверкин А.М., Каменский Г.А., Норкин С.Б., Эльсгольц Л.Э., Дифференциальные уравнения с отклоняющимся аргументом, УМН, 17:2(104), 1962, 77–164.
- [5] Красовский Н.Н., Некоторые задачи теории устойчивости движения, 1959.
- [6] Мышкис А.Д., Линейные дифференциальные уравнения с запаздывающим аргументом, Гостехиздат, М.–Л., 1951.
- [7] Мышкис А.Д., Эльсгольц Л.Э., Состояние и проблемы теории дифференциальных уравнений с отклоняющимся аргументом, УМН, 22:2(134), 1967, 21–57.
- [8] Пинни Э., Обыкновенные дифференциальные уравнения, М., ИЛ, 1961.
- [9] Тихонов А.Н., О зависимости решений дифференциальных уравнений от малого параметра, Мат.сб., 2 2(64), 1948, 193–204.
- [10] Тихонов А.Н., О системах дифференциальных уравнений, содержащих параметры, Мат.сб., 2 7(69), 1950, 147–156.

- [11] Эльсгольц Л.Э., Норкин С.Б. Введение в теорию дифференциальных уравнений с отклоняющимся аргументом, М., Наука, 1971.
- [12] Филиппов А. Ф., Сборник задач по дифференциальным уравнениям. Изд. 5-е, М.: Наука, 1979.
- [13] Bellman R., Danskin J.M, Glicksberg I., A bibliography of the theory and application of differential-difference, renewal and related functional equations, The Rand Corporation RM-688, 1952.
- [14] Bellman R., Danskin J.M, The stability theory of differential-difference equations, Proc. Sympos. non-linear Circuit Anal, New York , 1953, 107-123.
- [15] Friedman A. Hu B. The Stefan problem for a hyperbolic heat equation, Math. Anal. and Appl., V. 138, 1, 1989, 249–279.
- [16] Hahn W., Berichtuber Differential-Differenzengleichungen mit festen und Veranderlichen Spannen, Jahresber. Dtsch. Math.Ver.57,2, 1954, 55—84.
- [17] Kalecki M., An Essay on the Theory of the Business Cycle (Próba teorii koniunktury), Instytut Badania Koniunktur Gospodarczych i Cen, Warsaw, 1933.
- [18] Kolmanovskii V.B., Myshkis A.D., Introduction to the theory and Applications of Functional Differential Equations, Kluver, Dordrecht, 1999.
- [19] Mangano S., Mathematica Cookbook, O'Reilly Media, 2010.
- [20] Polyanin A.D., Zhurov A.I., A new method for constructing exact solutions to nonlinear delay partial differential equations, arXiv:1304.5473, 2013.
- [21] Wu J., Theory and Applications of Partial Functional Differential Equations, Springer-Verlag, New-York, 1996.